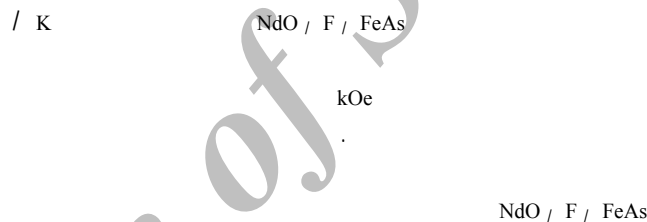


NdO / F / FeAs



توسط جانشینی فلوئور به جای اکسیژن یا ایجاد جاهای خالی اکسیژن در لایه‌های RE-O القاء نمود [۴-۱]. این ابررساناهای دارای میدان‌های بحرانی بالایی فوق العاده بزرگ تا حدود $T = 300$ K هستند [۵]. تغییرات چگالی جریان بحرانی J_c ناشی از اعمال میدان مغناطیسی در دماهای پایین ناچیز است [۵]. این ترکیبات برخلاف کوپرات‌ها، که بعد از فرونشانی کامل همبستگی آنتی فرمغناطیسی ابررسانا می‌شوند، در حضور حالت آنتی فرمغناطیسی نیز ابررسانا می‌شوند، به عبارت دیگر حالت‌های ابررسانایی و آنتی فرمغناطیسی به طور همزمان در این ترکیبات وجود دارند [۶].

نمونه بس بلور پایه آهن با ترکیب اسمی $NdO_{0.82}F_{0.18}FeAs$ به روش استاندارد حالت جامد تحت فشار بالا ساخته شد. برای

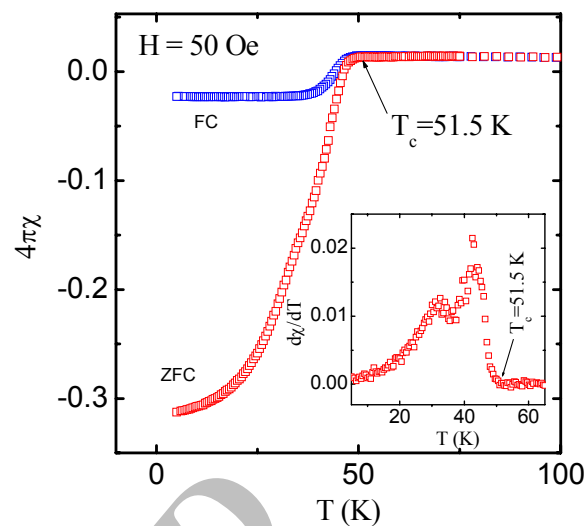
کشف ابررسانایی با دمای بحرانی ابررسانایی $K = 26$ در ترکیب $LaO_{1-x}F_xFeAs$ [۱] دریچه جدیدی را برای جستجوی مواد ابررسانای جدید با دمای بحرانی T_c بالاتر را گشود. در این راستا جانشینی عناصر خاکی نادر (مانند Nd، Pr، Ce، Sm و ...) در مکان La باعث افزایش دمای بحرانی تا دمای $T_c = 57$ K گردید [۲-۸]. لذا ترکیبات ابررساناهای جدید دارای فرمول عمومی $(REO_{1-x}F_xFeAs)$ (RE-۱۱۱) است که در آن RE عناصر خاکی نادر می‌باشد. مشابه آنچه که در حدود ۲۳ سال پیش برای ابررساناهای دمای بالا کوپرات پیدا شده بود ترکیب مادر گروه جدید، $LaOFeAs$ ابررسانا نیست. این مواد همانند کوپرات‌ها به صورت لایه ای هستند که در آن لایه رسانای Fe-As در بین لایه‌های عایق O-Sاند ویچ شده است. در این ترکیب، ابررسانایی را می‌توان

می شود دمای بحرانی ابررسانایی T_c در حدود ۵۱/۵ K است، که به وضوح از در ضمیمه شکل ۱ چون در این دما ماده دیامغناطیس كامل می شود. پنهانی ناحیه گذار از حالت عادی به حالت ابررسانایی، که به صورت $\Delta T = T(٪/۹۰) - T(٪/۱۰)$ تعریف می شود، برابر K ۲/۷ است.

برای تعیین رفتار مغناطیسی نمونه $NdO_{۰/۸۲}FeAs$ مغناطش، M، سرد شده در حضور میدان مغناطیسی (FC) و سرد شده در غیاب میدان مغناطیسی (ZFC) به صورت تابع از دما در میدان های مغناطیسی مختلف، اندازه گیری شد. شکل ۲ M(T,H) را در محدوده دمایی K ۱۰-۷۰ و میدان های مختلف را نشان می دهد.

همان طوری که در شکل ۲ دیده می شود با افزایش میدان مغناطیسی حلقه برگشت ناپذیر دیامغناطیس کوچک می شوند در حالی که سهم پارامغناطیس به طور چشمگیری افزایش می یابد. با افزایش بیشتر میدان مغناطیسی تا ۵۰ kOe (شکل ۳(d)) اختلاف بین منحنی های ZFC و FC از بین می رود. بنابراین برای $H \geq ۵۰$ kOe ابررسانای $NdO_{۰/۸۲}FeAs$ یک رفتار پارامغناطیس قوی را نشان می دهد.

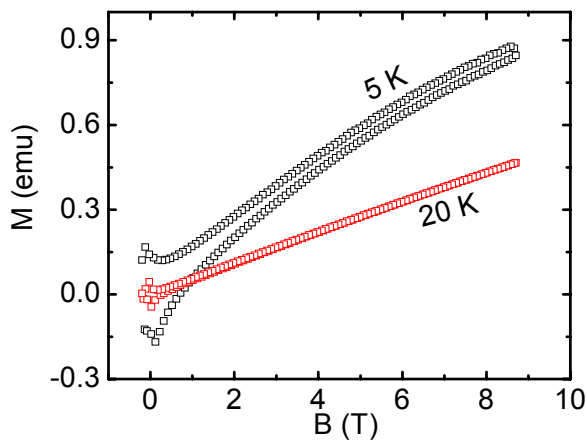
حلقه های مغناطش M(H) در دمای ۵ و ۲۰ کلوین میدان های مغناطیسی $T \leq ۸/۷$ در شکل ۳ نشان داده شده اند. ملاحظه می شود که حلقه پسماند ابررسانایی بر روی یک مغناطش زمینه پارامغناطیس وابسته به میدان قوی قرار گرفته است. حالت پارامغناطیس زمینه ناشی از $Nd_۲O_۳$ است که به صورت فاز مغناطیسی ثانویه در ترکیب وجود دارد. نشان داده شده است که منحنی مغناطش $Nd_۲O_۳$ دقیقا در بین شاخه های بالایی و پایینی مغناطش Nd-1111 قرار دارد [۶]. بنابر این پاسخ پارامغناطیس توسط یون های $Nd^{+۳}$ تعیین می گردد. لذا به خاطر وجود لایه های متواالی Nd-O و Fe-As در ابررسانای $NdO_{۰/۸۲}FeAs$ یک چنین رفتار مغناطیسی مشابه با رفتار مغناطیسی $Nd_۲O_۳$ مشاهده می گردد. بنابر این پارامغناطیس $NdO_{۰/۸۲}FeAs$ را می توان به عنوان یک ابررسانای پارامغناطیس در نظر گرفت که در آن سهم مغناطش ناشی از یون های پارامغناطیس $Nd^{+۳}$ غالب است.



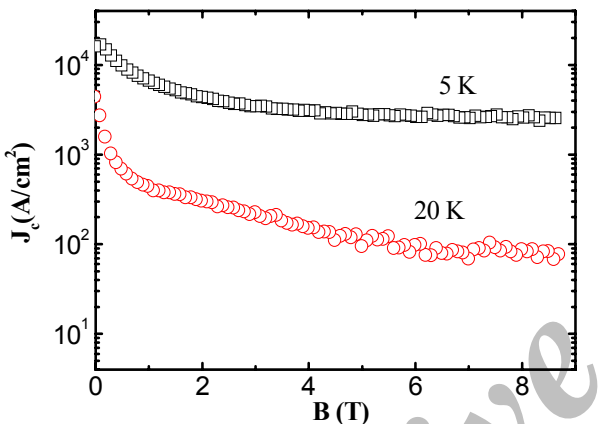
شکل ۱. واستگی دمایی پذیرفتاری مغناطیسی سرد شده در حضور میدان مغناطیسی (FC) و سرد شده در غیاب میدان مغناطیسی (ZFC) ترکیب ابررسانای $NdO_{۰/۸۲}FeAs$ در میدان مغناطیسی ۵۰ Oe. شکل ضمیمه مشتق دمایی پذیرفتاری مغناطیسی را نشان می دهد.

ساخت ابتدا مواد اولیه $Nd_۲O_۳$ ، $Fe_۲O_۳$ ، $FeAs$ و $Fe_۲$ با خلوص بالا به خوبی مخلوط و سپس به شکل قرص در داخل یک بوته از جنس نیترید بورن محبوس و تحت فشار بالای ۶ GPa به مدت ۲ ساعت در دمای ۱۲۵۰ °C پخته شد [۵]. پراش اشعه X به روش پودر نشان داد که نمونه ساختار تقریبا تک فاز و دارای ساختار راست گوشه با تقارن P4/nmm است [۶]. پذیرفتاری و مغناطش نمونه با استفاده از دستگاه اندازه گیری خواص مغناطیسی (MPMS) در محدوده میدان های مغناطیسی $T = ۸/۷ - ۲۰$ در دانشگاه ولنگونگ کشور استرالیا انجام گردید.

نتایج اندازه گیری پذیرفتاری مغناطیسی سرد شده در حضور میدان مغناطیسی (FC) و سرد شده در غیاب میدان مغناطیسی (ZFC) به صورت تابعی از دما در میدان مغناطیسی ۵۰ Oe برای نمونه $NdO_{۰/۸۲}FeAs$ در شکل ۱ نشان داده شده است. ضمیمه شکل ۱ مشق دمایی پذیرفتاری مغناطیسی را به صورت دمایی نشان می دهد. همان طور که در شکل ۱ و ضمیمه اش دیده



شکل ۳. مغناطش ابررسانای $\text{NdO}_{0.87}\text{FeAs}$ به صورت تابعی از میدان مغناطیسی در دماهای ۵ و ۲۰ کلوین.



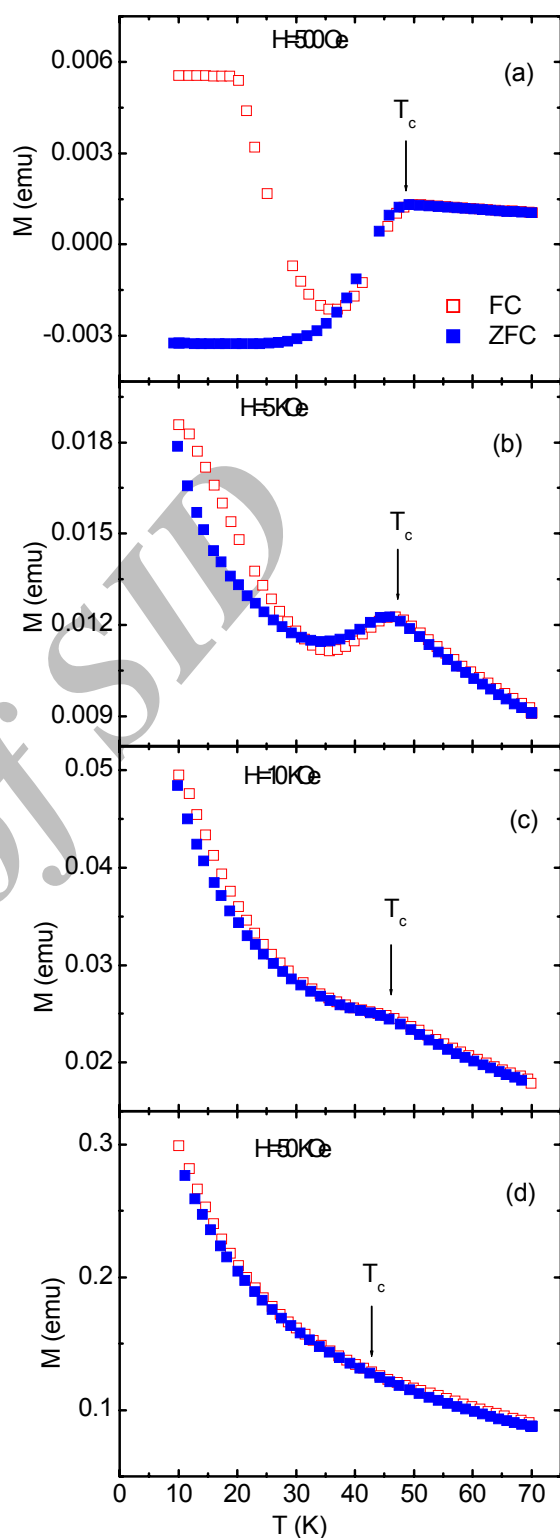
شکل ۴. چگالی جریان بحرانی، J_c ، بر حسب میدان مغناطیسی در دماهای ۵ و ۲۰ کلوین.

چگالی جریان بحرانی با استفاده از تقریب بین (Bean) یعنی رابطه زیر محاسبه شد:

$$J_c = 20 \Delta M / V a (1 - a/b) \quad (1)$$

که در آن a و b طول نمونه است، که بر میدان مغناطیسی عمود هستند، V حجم نمونه و ΔM ارتفاع حلقه پسماند مغناطیسی هستند.

شکل ۴ چگالی جریان بحرانی را به صورت تابعی از میدان مغناطیس اعمال شده در دماهای ۵ و ۲۰ کلوین را نشان می‌دهد. همان‌طوری که از شکل مشاهده می‌شود برای میدان مغناطیسی اعمالی کمتر از ۲ تلسلا ($H < 2\text{T}$) و دمای



شکل ۲. مغناطش، M ، سرد شده در حضور میدان مغناطیسی (FC) و سرد شده در غیاب میدان مغناطیسی (ZFC) به صورت تابعی از دما در میدان‌های مغناطیسی مختلف.

نتایج حاصل از مطالعه مغناطش، $M(T)$ ، ابررسانای $\text{Nd}_{0.87}\text{Fe}_{0.18}\text{As}$ با دمای بحرانی $T_c = 51/5 \text{ K}$ نشان داد که این ابررسانا در میدان‌های مغناطیسی کمتر از 50 kOe دیامغناطیس است ولی در میدان‌های مغناطیسی بزرگتر پارامغناطیس می‌شود. همچنین مشاهده شد که در میدان‌های مغناطیسی بزرگتر از 2 Tesla ، چگالی جریان بحرانی در این ابررسانا تقریباً ثابت است.

از همکاری آقای پروفسور شی جهت همکاری و اجازه استفاده از تجهیزات دانشگاه ولونگونگ استرالیا صمیمانه تشکر می‌کنیم.

۵. چگالی جریان بحرانی دارا وابستگی بسیار ضعیفی به میدان مغناطیسی بوده در حالی که برای $T > 2 \text{ K}$ تقریباً مستقل از میدان مغناطیسی است. اما برای دمای K_{20} وابستگی چگالی جریان به میدان مغناطیسی اندکی بیشتر است. این نتایج نشان می‌دهند که نیروی میخکوبی گردشarde‌ها در این ابررساناها بسیار بزرگتر از سایر ابررساناهاي دمای بالا است.

میدان مغناطیسی بحرانی بالایی، H_{c2} ، بسیار بزرگ [۵] و ثابت بودن چگالی جریان بحرانی در میدان‌های مغناطیسی اعمالی بزرگ پیشه‌های می‌نماید که این ابررساناها می‌توانند دارای پتانسیل کاربردی بسیار بالایی باشند.

1. L L Sun, Z X Zhao, *Euro. Physics Letters* **82** (2008) 57002.
2. Z A Ren, W Lu, J Yang, W Yi, X L Shen, Z C Li, G C Che, X L Dong, L L Sun, F Zhou, Z X Zhao, *Chin. Phys. Lett.* **25** (2008) 2215.
3. شعبان رضا قربانی، شاولین ونگ، نهمین کنفرانس ماده چگال انجمان فیزیک ایران، دانشگاه شهید چمران اهواز، اهواز، ۱۵-۱۶ بهمن (۱۳۸۷).

4. Y Kamihara, T Watanabe, M Hirano, and H Hosono, *J. Am. Chem. Soc.* **130** (2008) 3296.
5. Z Ren, et al., *Euro. Phys. Lett.* **83** (2008) 17002.
6. X H Chen, T Wu, G Wu, R H Liu, H Chen, D F Fang, *Nature* **453** (2008) 761.
7. G F Chen, et al., *Phys. Rev. Lett.* **100** (2008) 247002.
8. X L Wang, S R Ghorbani, G Peleckis, S X Dou, *Adv. Mater.* **21** (2009) 236.
9. C Tarantini, A Gurevich, D C Larbalestier, Z A Ren, X L Dong, W Lu, Z X Zhao, *Phys. Rev. B* **78** (2008) 184501.
10. Z A Ren, J Yang, W Lu, W Yi, G C Che, X L Dong,